

Elliptikus PDE-k véges differenciás numerikus megoldása 3D tartományokon

Andó-Kinorányi Dóra

Témavezető: Karátson János

Tartalomjegyzék

1. Bevezetés	2
2. Egységkocka	2
2.1. A megoldás közelítése	2
2.2. A becslési hiba nagysága különböző lépéstávolságok esetén	3
2.3. A gradiens közelítése	4
3. Hiányos kocka konkáv sarokkal (Fichera corner)	5
3.1. Az együtthatómátrix struktúrája	5

1. Bevezetés

Az önálló projekt során 3D-s elliptikus modellfeladatok véges differenciás kódolásával foglalkoztam. A legegyszerűbb példa elliptikus parciális differenciálegyenletekre a Poisson-egyenlet, melyhez megadható a peremre vonatkozó feltétel is. Dirichlet-peremfeltételnek nevezzük, ha ismerjük a tartomány peremén a megoldás értékeit. Az ilyen típusú feladatok általános alakja a következő:

$$\begin{cases} -\Delta u = f \\ u|_{\partial\Omega} = g, \end{cases}$$

ahol $\Omega \subset \mathbb{R}^n$ egy korlátos tartomány, és $\partial\Omega$ szakaszonként sima határ.

Bizonyos áramlásokat és erőtereket gyakran tudunk modellezni egy $W \in C^1(\Omega, \mathbb{R}^n)$ vektortér segítségével. Erre a W vektortérre két fizikai törvény is vonatkozik. A $\operatorname{div} W = f$ egyenlet a *megmaradási törvényt* írja le. Eszerint a W mező által szállított anyag vagy megmarad (ha $f \equiv 0$), vagy a forrás/nyelő f függvényében változik. A W -re vonatkozó *Fick-törvény* szerint a W mező arányos egy megfelelő $u \in C^1(\Omega)$ mező gradiensevel. Az u függvényt potenciálnak nevezzük. A törvény $W = -p\nabla u$ alakban is felírható, ahol $p > 0$ konstans. A fenti szabályok a $-\operatorname{div}(p\nabla u) = f$ elliptikus egyenletre vezetnek, ami $p \equiv 1$ esetén megegyezik az $-\Delta u = f$ elliptikus egyenlettel. Az u potenciál és a W erőter vizsgálata is hasznos lehet. [1]

A véges differenciás módszer szerint a megoldás közelítéséhez az értelmezési tartományon felvesszünk egy rácsot, melynek lépésközeit h_1, h_2, h_3 -mal jelöljük, és azt szeretnénk, ha a rács finomításával a rácspontokban a becsült érték egyre jobban közelítené a pontos megoldást. [1] Az egyszerűség kedvéért feltesszük, hogy a továbbiakban ekvidisztáns felosztással dolgozunk, vagyis $h_1 = h_2 = h_3 =: h$. A rács paraméterének nevezzük h -t. A tartomány belső pontjaiban a diszkrét Laplace-operátor közelítéséhez mindhárom irányban szimmetrikus módszert alkalmazunk, így kapjuk az alábbi közelítést:

$$-\Delta u(ih, jh, kh) \approx \frac{-u_{i+1,j,k} - u_{i-1,j,k} - u_{i,j+1,k} - u_{i,j-1,k} - u_{i,j,k+1} - u_{i,j,k-1} + 6u_{i,j,k}}{h^2} \quad (1)$$

2. Egységkocka

2.1. A megoldás közelítése

Az első vizsgált tartományunk az $\Omega = [0, 1] \times [0, 1] \times [0, 1]$ egységkocka. Ezen oldjuk meg a

$$\begin{cases} -\Delta u = f, & \Omega = [0, 1] \times [0, 1] \times [0, 1] \\ u|_{\partial\Omega} = 0, \\ f(x, y, z) = 3\pi^2 \sin(\pi x) \sin(\pi y) \sin(\pi z) \end{cases} \quad (2)$$

feladatot. Ennek a feladatnak könnyen kiszámolható a pontos megoldása, így a közelítésből származó hibát is meg tudjuk majd kapni. A pontos megoldás $u(x, y, z) = \sin(\pi x) \sin(\pi y) \sin(\pi z)$.

A 1. fejezetben leírtaknak megfelelően alkalmazunk egy h lépésközű ekvidisztáns rácsot Ω -n, N jelöli a belső rácspontok számát. A kapott rács pontjait lexikografikusan egy darab N^3 hosszú vektorba rendezzük úgy, hogy először az x -tengely, majd az y -tengely, végül pedig a z -tengely mentén növeljük az indexeket. Ezzel a rendezéssel a rácspontokbeli közelített értékeket egy $u_h \in \mathbb{R}^3$ vektorban tudjuk eltárolni. Hasonlóképpen igaz ez az f rácspontokbeli értékére is, ezt f_h -val jelöljük. Az 1-es képlet alkalmazásával felírható egy A_h együtthatómátrixú lineáris algebrai egyenletrendszer, melynek jobb oldalán az f értékei szerepelnek az egyes rácspontokban. Ehhez jelölje I_N az $N \times N$ -es identitásmátrixot, továbbá bevezetjük az alábbi jelöléseket.

$$E := \begin{pmatrix} 6 & -1 & & & \\ -1 & 6 & -1 & & \\ & -1 & \ddots & \ddots & \\ & & \ddots & 6 & -1 \\ & & & -1 & 6 \end{pmatrix} = \operatorname{tridiag}(-1, 6, -1) \in \mathbb{R}^{N \times N}, \quad \tilde{B} := \left(\begin{array}{c|c|c|c} E & -I_N & & \\ -I_N & \ddots & \ddots & \\ & \ddots & E & -I_N \\ & & -I_N & E \end{array} \right) \in \mathbb{R}^{N^2 \times N^2}.$$

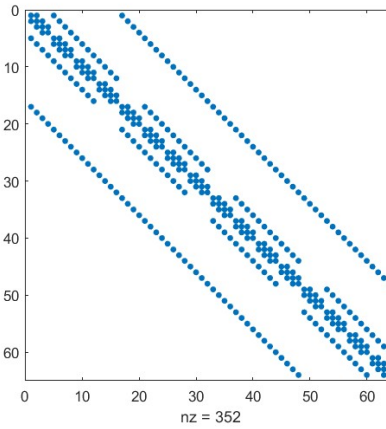
Ezek segítségével felírható az

$$A_h := \frac{1}{h^2} \left(\begin{array}{c|c|c|c} \tilde{B} & -I_{N^2} & & \\ \hline -I_{N^2} & \ddots & \ddots & \\ \hline & \ddots & \tilde{B} & -I_{N^2} \\ \hline & & -I_{N^2} & \tilde{B} \end{array} \right) = \frac{1}{h^2} \text{blokktridiag}(-I_{N^2}, \tilde{B}, -I_{N^2}) \in \mathbb{R}^{N^3 \times N^3} \quad (3)$$

együtthatómátrix. Az

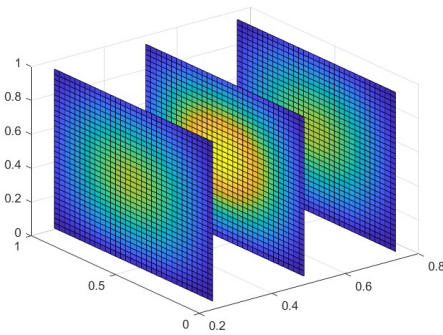
$$A_h u_h = f_h \quad (4)$$

lineáris egyenletrendszer u_h megoldása lesz a közelített érték a rácspontokban. A 1. ábrán az együtthatómátrix struktúrája látható $N = 4$ mellett. [2]

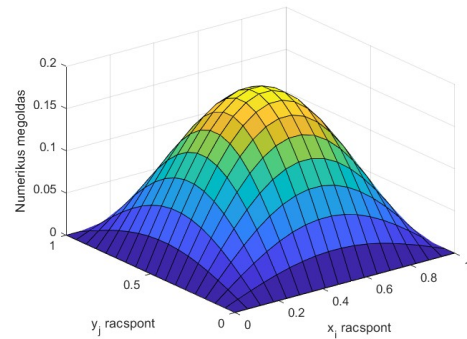


1. ábra. Az együtthatómátrix struktúrája kockán, $N = 4$ mellett.

Az összes megoldás nem ábrázolható térben, azonban valamely változó fixálásával megtekinthetjük tetszőleges "rétegen" a becslésünket. A 2. ábrán az $x = 8h$, $x = 16h$, $x = 24h$ rétegeken ábrázoljuk a becslött megoldást. A 3. ábrán a $z = h$ érték rögzítésével ábrázoltuk a becslött megoldást $N = 8$, illetve $N = 16$ belső rácspont esetén.



2. ábra. Az $N = 32$ melletti becslött értékek az $x = 8h$, $x = 16h$, $x = 24h$ rétegeken.



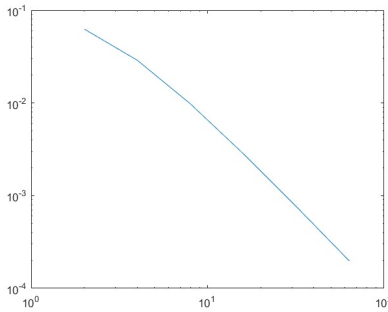
3. ábra. A $z = h$, $N = 16$ melletti becslött értékek.

2.2. A becslési hiba nagysága különböző lépéstávolságok esetén

Az alábbi táblázat a rácspontbeli becslött értékek eltérését tartalmazza a pontos értékektől maximum normában.

Belső rácspontok száma (N)	Hiba nagysága
2	0.0628
4	0.0289
8	0.0098
16	0.0028
32	$7.5303 \cdot 10^{-4}$
64	$1.9452 \cdot 10^{-4}$

Mivel a belső pontokban a szimmetrikus sémával közelítettük a diszkrét Laplace-operátort, ezért másodrendű konvergenciát várunk. A hibák nagyságát érdemes loglog-ábra segítségével is ábrázolni, így szemléltethető a módszer rendje.

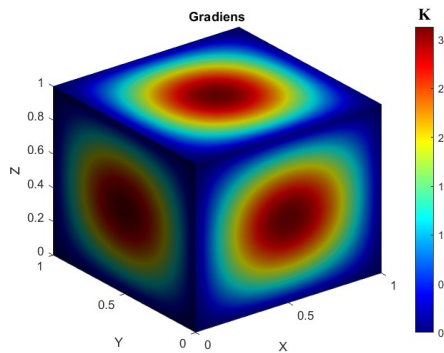


4. ábra. A lépésszám növelésével a hiba másodrendben csökken.

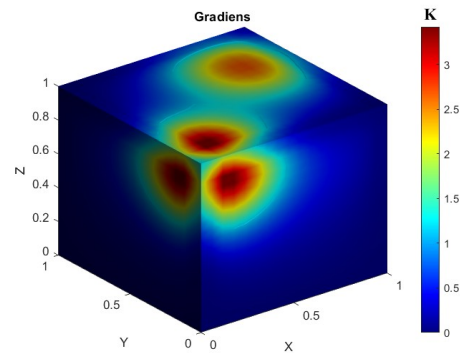
A fenti ábrán a 3. és a 6. pont közötti egyenes körülbelül $\frac{-1,7003}{0,9031} = -1,8827$ meredekségű, ami nagyjából megfelel a másodrendnek.

2.3. A gradiens közelítése

A közelített megoldásból kiszámoltuk a rácspontbeli gradiensvektorok hosszát. A határon lévő pontokban a megoldás nem C^1 -beli, így ott a $|\nabla u| \approx |\partial_v u|$ közelítést alkalmaztuk. v olyan vektor, mely egy oldal belső pontjában az oldalra merőleges vektor, egy oldal élén az élre merőleges, átellenes él irányába mutató vektor, a kocka csúcaiban pedig a kocka középpontjába mutató vektor. Az 5. ábrán a közelített $|\nabla u|$ látható a 2. feladat esetén. A 6. ábrán az $f(x, y, z) = 3e^{-10(x-0)^2-10(y-0)^2-10(z-1)^2} + e^{-10(x-0.8)^2-10(y-0.7)^2-10(z-1)^2}$ feladathoz tartozó közelített $|\nabla u|$ szerepel.



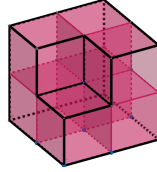
5. ábra. $|\nabla u|$ közelítése a határon a 2. feladat esetén.



6. ábra. A közelített $|\nabla u|$ kettős Gauss-forrás esetén.

3. Hiányos kocka konkáv sarokkal (Fichera corner)

A másik általunk vizsgált tartomány egy olyan 1 élhosszúságú kocka, melynek az egyik sarkából elhagytunk egy $\frac{1}{2}$ élhosszúságú kockát. Ezt szokás *fichera corner*nek nevezni. [3] Ezt a testet szemlélteti a 7. ábra. Ezen a tartományon csak azt az esetet vizsgáltuk, mikor a belső pontok száma páratlan sok.



7. ábra. Hiányos kocka konkáv sarokkal (Fichera corner).

3.1. Az együtthatómátrix struktúrája

Legyen $a := sN + (N - s)s$, ahol $s = \lfloor \frac{N}{2} \rfloor$. Az eljárás együtthatómátrixa egy olyan négyzetes blokkmátrix, melynek bal felső négyzetes blokkja egy blokktridiagonális mátrix, N^2 méretű blokkokkal, a főátlóban C blokkokkal, a második átlókban $-I$ blokkokkal. A jobb alsó négyzetes blokk szintén egy blokktridiagonális mátrix a^2 méretű blokkokkal, ennél a főátlóban D mátrixok vannak, a második átlókban $-I$ -k. A mátrix többi részeiben csak A_1 -ben és A_2 -ben vannak nemnulla elemek. Az A_1 egy olyan $a \times N^2$ -es mátrix, melyben az utolsó a oszlop által meghatározott rész mátrix az $-I \in \mathbb{R}^{s \times s}$, máshol pedig minden elem 0. $A_2 = A_1^T$, azaz az A_2 egy olyan mátrix, melyben az utolsó a sor által meghatározott rész mátrix az $-I \in \mathbb{R}^{s \times s}$, máshol pedig minden elem 0. Tehát a mátrixnak összesen $sN^2 + (N - s)a$ oszlopa van. Például $N = 5$ esetén az alábbi struktúrát figyelhetjük meg. A mátrix fölött, illetve mellett az adott blokk mérete szerepel.

$$\begin{array}{c}
 \begin{array}{c|c|c|c|c}
 N^2 & (1.) & N^2 & (s.) & a & a & a \\
 \hline
 N^2 & \begin{pmatrix} C & & & & \\ & -I & & & \\ & & C & & \\ & & & -I & \\ & & & & C \end{pmatrix} & & & & \\
 \hline
 a & & & A_1 & D & -I & \\
 a & & & & -I & D & -I \\
 a & & & & & -I & D
 \end{array} \\
 \hline
 \end{array} = A$$

C mátrix egy olyan blokktridiagonális mátrix, melynek minden oszlopában N darab $N \times N$ -es blokk van. C főátlójában $\tilde{B} = \text{tridiag}(-1, 6, -1) \in \mathbb{R}^{N \times N}$ blokkok szerepelnek, a második átlókban pedig $-I$ mátrixok.

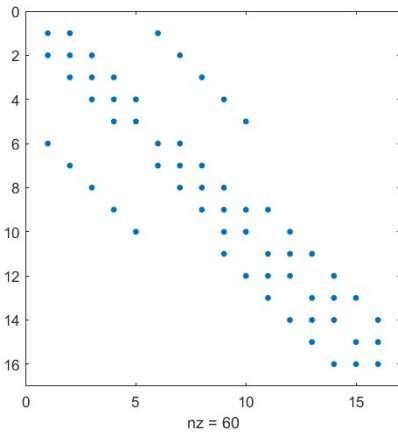
$$C = \begin{pmatrix} \tilde{B} & -I & & & \\ -I & \tilde{B} & & & \\ & & \ddots & & \\ & & & \ddots & -I \\ & & & & -I & \tilde{B} \end{pmatrix} \in \mathbb{R}^{N^2 \times N^2}$$

A D mátrix struktúrája megegyezik az A mátrix struktúrájával, azonban a méretek különböznek. A D mátrix bal felső négyzetes blokkjában a blokkok $N \times N$ -esek, egy oszlopban s darab van belőlük, és a rész mátrix főátlójában lévő blokkokat \tilde{B} -vel jelöljük. A jobb alsó négyzetes rész mátrixban a blokkok $s \times s$ -esek, egy oszlopban $N - s$ van belőlük, és a rész mátrix főátlójában lévő blokkokat \tilde{B} -vel jelöljük. $\tilde{B} = \text{tridiag}(-1, 6, -1) \in \mathbb{R}^{N \times N}$ és $\tilde{B} = \text{tridiag}(-1, 6, -1) \in \mathbb{R}^{s \times s}$. Az A_1 és A_2 részeknek megfelelő elemeket hasonlóan írjuk fel, mint A -nál. Tehát D egy $(Ns + (N - s)s) \times (Ns + (N - s)s)$ -es mátrix. $N = 5$ -nél a következőképpen néz ki D .

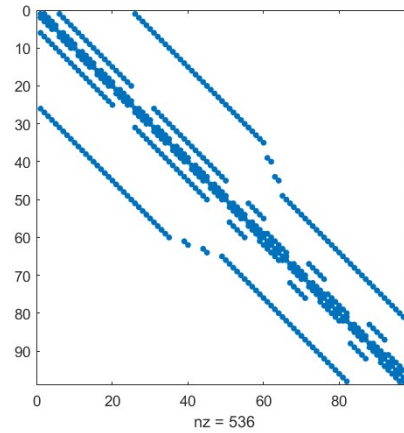
$$\begin{array}{c}
N \quad (1.) \\
N \quad (s.) \\
s \\
s \\
s
\end{array}
\left(
\begin{array}{c|c|c|c|c}
\tilde{B} & -I & & & \\
\hline
-I & \tilde{B} & A'_2 & & \\
\hline
& A'_1 & \tilde{B} & -I & \\
\hline
& & -I & \tilde{B} & -I \\
\hline
& & & -I & \tilde{B}
\end{array}
\right) = D$$

3.1. Megjegyzés. Ha síkbeli L -tartományon vizsgáljuk az FDM együtthatómátrixát, a D mátrixot kapjuk, azzal a különbséggel, hogy az 5-pontos differenciacsillagban a középpontbeli elemek helyén 6 helyett 4 szerepel.

A 8. ábrán a D mátrix nemnulla elemeit, a 9. ábrán a módszer együtthatómátrixát láthatjuk $N = 5$ esetén.



8. ábra. A D mátrix struktúrája $N = 5$ mellett.



9. ábra. A módszer együtthatómátrixának struktúrája $N = 5$ mellett.

A módszer együtthatómátrixa $A_h = \frac{1}{h^2} A$. Kevés belső rácspont esetén az alábbi hibákat kapjuk.

Belső rácspontok száma (N)	Hiba nagysága
3	0.2337
5	0.0628
7	0.0530
9	0.0289
11	0.0232
15	0.0130
17	0.0098
19	0.0083
21	0.0066
25	0.0048

Hivatkozások

- [1] Karátson János Horváth Róbert Izsák Ferenc. *Parciális differenciálegyenletek numerikus módszerei számítógépes alkalmazásokkal*. URL: https://web.cs.elte.hu/~karatson/pdnm_vegleges_2013.pdf.
- [2] MathWorks. *Matlab Documentation*. URL: <https://www.mathworks.com/help/matlab/>.
- [3] Wikipedia. *hp-FEM*. URL: https://en.wikipedia.org/wiki/Hp-FEM#Example:_the_Fichera_problem.